

СВОЙСТВА СИСТЕМЫ $ZnS:In^+$ ПРИ БОЛЫХ ДОЗАХ
ВНЕДРЕННОГО ИНДИЯ

А. Н. Георгобиани, З. П. Илюхина, А. В. Спицын,
И. М. Титиняну

УДК 537.3:312.5

Исследованы свойства системы $ZnS:In^+$, полученной в виде слоя путем имплантации индия в монокристаллы сульфида цинка. Выявлено, что при дозе внедренного индия $D = 10^{16} \text{ см}^{-2}$ свойства слоя коррелируют со свойствами тройного соединения $ZnIn_2S_4$.

В работе /1/ с помощью имплантации ионов индия с дозами 10^{14} и 10^{15} см^{-2} получены низкоомные слои сульфида цинка на высокоомных подложках. Приведены значения для энергий ионизации донорных центров In_{Zn} и In_3 , образующихся при имплантации, равные соответственно 0,22 и 0,58 эВ. Отмечено, что повышение дозы легирования до $5 \cdot 10^{15} \text{ см}^{-2}$ приводит к преобладанию в слое кластерных образований, которые отжигаются в интервале температур 750 – 800 °C. В настоящей работе приводятся результаты исследования спектров фотопроводимости (ФП) и фотолюминесценции (ФЛ) системы $ZnS:In^+$, полученной в результате имплантации ионов индия с дозами 10^{15} и 10^{16} см^{-2} в монокристаллы ZnS с проводимостью n-типа ($\rho_T \geq 10^{10} \Omega \cdot \text{см}$ при 300 К), выращенные из расплава. Ионное внедрение осуществлялось на ускорителе тяжелых ионов фирмы High Voltage Engineering Europa, энергия ионов составляла 250 кэВ. После имплантации образцы отжигались при температурах 410 и 750 °C в потоке аргона в течение 10 минут.

При измерении ФП падающий на образец луч света модулировали обтюратором с частотой ~ 30 Гц. Контакты изготавливали вплавлением индия. Для возбуждения ФЛ использовали излучение с дли-

ной волны $\lambda = 313$ нм, выделенной из свечения ртутной лампы HBO-500.

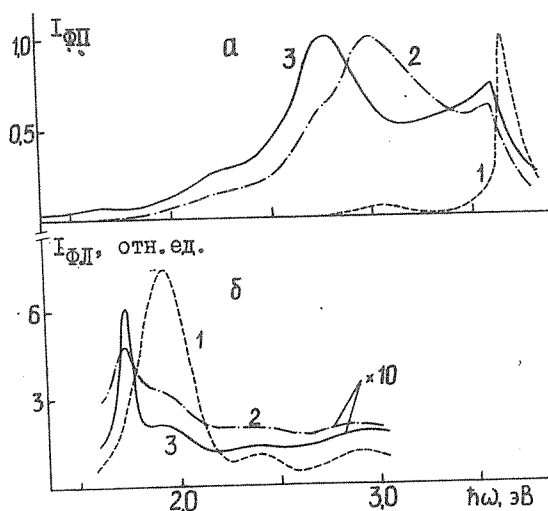


Рис. I. Спектры ФЛ при 300 К (а) и ФЛ при 80 К (б) неимплантированных и имплантированных индием с дозами 10^{15} см^{-2} (2) и 10^{16} см^{-2} (3) сторон монокристаллов Zns, $T_{\text{отж}} = 410^{\circ}\text{C}$

На рис. Ia показаны спектры ФЛ неимплантированных и имплантированных при дозах 10^{15} и 10^{16} см^{-2} сторон монокристаллов, измеренные после отжига при температуре 410°C . Спектр ФЛ неимплантированных сторон состоит из одного интенсивного пика при энергии 3,65 эВ, обусловленного, по-видимому, собственным поглощением в сульфиде цинка, и более слабого пика при 3,05 эВ (кривая 1). Внедрение индия приводит к появлению в спектрах ФЛ новых пиков, которые при дозе 10^{16} см^{-2} наблюдаются при энергиях 1,65, $\sim 2,25$, $\sim 2,8$ и 3,60 эВ.

Неимплантированные стороны монокристаллов после отжига при 410°C показывают интенсивную люминесценцию в красной области (рис. Ib; кривая 1). В спектрах ФЛ имплантированных сторон монокристаллов наблюдается появление полосы с максимумом

при энергии 1,74 эВ, интенсивность которой растет с увеличением дозы, и резкое падение интенсивности полос ФЛ, характерных для исходных кристаллов ZnS (кривые 2 и 3).

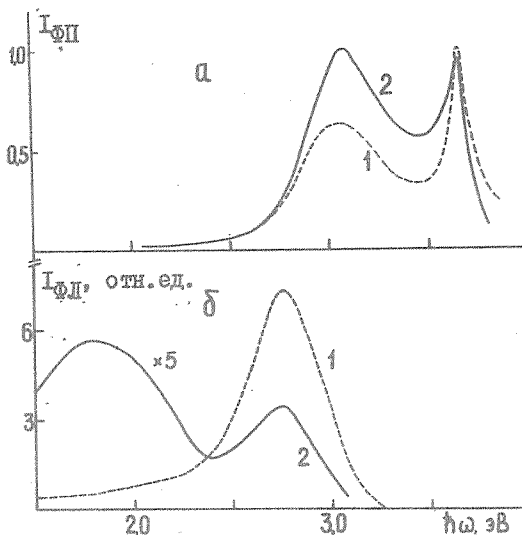


Рис. 2. Спектры ФП при 300 К (а) и ФЛ при 80 К (б) неимплантированных и имплантированных индием с дозой 10^{16} см^{-2} (2) сторон монокристаллов ZnS, $T_{\text{отк}} = 750^{\circ}\text{C}$

Результаты исследования спектров ФП трудно интерпретировать с точки зрения образования в решетке сульфида цинка донорных центров In_{Zn} и In_1 . Появление таких мелких доноров слабо изменило бы спектр ФП в указанной области. Непонятным является и наличие в спектрах ФЛ имплантированных сторон узкой полосы при 1,74 эВ, поскольку для кристаллов ZnS, легированных индием, характерна широкая полоса ФЛ в красной области (/2/, см. рис. 2б).

Приведенные спектры ФП и ФЛ системы ZnS:In⁺ при дозе внедренного индия 10^{16} см^{-2} хорошо коррелируют, на наш взгляд, с аналогичными спектрами для тройного соединения ZnIn_2S_4 .

Например, для тетрагида ZnIn_2S_4 характерно наличие в спектрах ФИ пикиов при энергиях 2,22 и 2,35 эВ и 2,8 эВ, причем последний соотвествует собственному поглощению, а в спектре ФЛ — одной полосы с максимумом при 1,74 — 1,77 эВ /3/. Поэтому можно предположить, что имплантация индия в ZnS с последующим отжигом при 410°C в потоке аргона приводит к образованию новой фазы — соединения ZnIn_2S_4 . В подтверждение этого можно отметить, что в спектрах отражения имплантированных сторон монокристаллов $\text{ZnS}: \text{In}^+$ ($D = 10^{16} \text{ см}^{-2}$, $T_{\text{отж}} = 410^\circ\text{C}$) наблюдается пик при энергии 3,05 эВ ($T = 80 \text{ K}$), который можно связать с проявлением края собственного поглощения ZnIn_2S_4 /3/.

Концентрация атомов индия в тройном соединении ZnIn_2S_4 составляет, согласно /3/, $N_{\text{In}}^T \approx 1,25 \cdot 10^{22} \text{ см}^{-3}$. Концентрацию индия в имплантированном слое можно оценить по формуле:

$$D = 2,5 \Delta R_p N_{\text{max}},$$

где ΔR_p — среднеквадратичный разброс проецированных пробегов внедренных ионов, N_{max} — концентрация индия в максимуме профиля распределения. Используя значения $\Delta R_p = 3 \cdot 10^{-6} \text{ см}$ (для случая внедрения In в GaP /4/) и $D = 10^{16} \text{ см}^{-2}$, получаем $N_{\text{max}} \approx 1,3 \cdot 10^{21} \text{ см}^{-3}$. Таким образом, даже в максимуме профиля распределения согласно приведенной оценке, концентрация внедренного индия в ZnS отличается от значения N_{In}^T почти на порядок. Поэтому остается предположить, что фаза ZnIn_2S_4 образуется в решетке ZnS не в виде сплошного слоя, а в виде включений или кластерных образований.

Кинетика образования новых фаз при ионном внедрении была качественно рассмотрена в работе /5/, согласно которой существует критическая температура $T_{\text{кр}}$, ниже которой новая фаза может существовать в объеме старой. Повышение температуры выше критической приводит к тому, что основная решетка "следает" зародыши новой фазы. В нашем случае при $T > T_{\text{кр}}$ следует ожидать восстановления во всем имплантированном слое решетки ZnS , однако приповерхностная область остается обогащенной индием. Подтверждением этого могут служить спектры ФИ и ФЛ имплантированных индием с дозой 10^{16} см^{-2} и отожженных при 750°C монокристаллов ZnS (рис. 2). Видно, что спектры ФИ имплантиру-

ных и неимплантированных сторон сходны (рис. 2а), в то время как в спектре ФЛ имплантированных сторон появляется широкая красная полоса (рис. 2б, кривая 2), характерная для сульфида цинка, легированного индием в процессе роста /2/. Таким образом, для рассмотренного случая существования зародышей фазы $ZnIn_2S_4$ в объеме ZnS критическая температура находится в интервале $410^{\circ}\text{C} < T_{\text{кр}} < 750^{\circ}\text{C}$.

В заключение авторы выражают благодарность А. Н. Грузинцеву за оказанную помощь при выполнении работы М. Б. Котляревскому и Е. И. Панасюк за ценные советы и замечания, а также В. А. Дравину за проведение имплантации.

Поступила в редакцию
13 марта 1981 г.

Л и т е р а т у р а

1. А. Н. Георгобиани, М. Б. Котляревский, О. С. Лудзиш, Краткие сообщения по физике ФИАН № 12, 7 (1979).
2. A. N. Georgobiani et al., Phys. Stat. Sol. (B), 80, 589(1977).
3. Ф. Г. Доника, В. Ф. Житарь, С. И. Радауцан. Полупроводники системы $ZnS-In_2S_3$, "Штиинца", Кишинев, 1980 г.
4. Таблицы параметров пространственного распределения ионно-имплантированных примесей, изд. БГУ, Минск, 1980 г.
5. В. В. Титов, Труды II Советско-американского семинара по ионной имплантации, Пущино, 1979 г., с. 319.